

扇贝多肽对 UVB 辐射诱导 HaCat 细胞凋亡的 抑制作用及其机制[△]

于爽¹,牟茜²,陈德利¹,闻春玲¹,王跃军³,孙谨³,王春波^{1*}

(1. 青岛大学医学院,山东青岛 266021;2. 青岛卫生学校,山东青岛 266071;

3. 中国水产科学院黄海水产研究院,山东青岛 266071)

摘要:目的 建立中波紫外线对体外培养的 HaCat 细胞辐射损伤病理模型,探讨扇贝多肽(PCF)对 HaCat 细胞辐射损伤的保护作用及机制。方法 将培养的 HaCat 细胞分组并给予相应的药物,经 UVB 照射后,琼脂糖凝胶电泳观察各组的 DNA ladder;流式细胞仪检测细胞内 Caspase-3 的含量;Western-blot 检测 ERKs, JNKs 和 p38 的水平。结果 PCF 能减少 UVB 所致的 HaCat 细胞 DNA 片段的出现,减少 UVB 诱导的 HaCat 细胞内的 Caspase-3 的含量,还能提高 ERKs 的水平,但降低 JNKs 及 p38 的水平。结论 PCF 能抑制 UVB 辐射诱导的细胞凋亡,对 UVB 辐射损伤的细胞具有保护作用。其作用机制可能是通过调节 MAPKs 的信号通路和 Caspase 级联实现。

关键词:扇贝多肽;中波紫外线;HaCat 细胞;凋亡;丝裂原激活的蛋白激酶

中图分类号:Q959.21, R979.6 **文献标识码:**A **文章编号:**1002-3461(2006)01-0016-05

Inhibitory effects of polypeptides from *Chlamys farreri* (PCF) on HaCaT cells apoptosis induced by UVB radiation

YU Shuang¹, MU Qian², CHEN De-li¹, YAN Chun-ling¹, WANG Yue-jun³, SUN Mi³,
WANG Chun-bo^{1*}

(1. Medical College, Qingdao University, Qingdao 266021, China; 2. Qingdao Hygienical School, Qingdao 266071, China; 3. Yellow Sea Fisheries Research Institute, Chinese Academy of Fishery Sciences, Qingdao 266071, China)

Abstract, Objective To investigate whether PCF could inhibit apoptosis of HaCat cells induced by ultraviolet B (UVB) *in vitro* and explore its related mechanism. **Methods** HaCat cells were cultured and divided into groups (control, model, and test groups). The DNA ladder of each group was observed by gel electrophoresis; The expression of caspase-3 in HaCat cells was detected by flow cytometry and the activities of ERKs, JNKs, P38 were determined by western-blot method. **Results** PCF decreased UVB-induced DNA ladder in HaCat cells; PCF enhanced the level of ERKs, but reduced the level of JNKs and p38, and reduced the expression of Caspase-3 in HaCat cells. **Conclusion** PCF had protective effects against UVB-induced apoptotic cell death in HaCat cells and it is likely that its cytoprotective effect on HaCat cells was mediated by MAPKs pathway.

Key words: polypeptides from *Chlamys farreri* (PCF); ultraviolet B rays; HaCat cells; apoptosis; mitogen-activated protein kinases

[△]基金项目:国家自然科学基金资助项目(No. 30471458);山东省自然科学基金资助项目(No. Y2003C02);青大科学[2003]15号。

* 通讯作者: Tel: 86-0532-82991202; E-cbwang666@126.com

人类皮肤长期暴露在阳光或紫外线下可导致表皮过度增生、炎症，甚至发展为肿瘤。业已证明，UVB 是皮肤肿瘤发病机制中最常见的环境因素^[1]。UVB 辐射可激活丝裂原激活的蛋白激酶信号通路^[2]，激活 Caspase 级联反应，水解一系列蛋白底物，引起细胞凋亡^[3]，探讨 MAPK 信号通路在 UVB 诱导的凋亡机制是研究热点之一。为减轻 UVB 辐射引起损伤，人们日益广泛地应用抗氧化剂。目前，对抗氧化剂的研究多局限于大分子蛋白或糖肽，而对海洋抗氧化剂尤其是小分子多肽的作用机制报道甚少。

课题组制备的扇贝多肽是从栉孔扇贝中提取的水溶性小分子多肽，相对分子质量为 879 Da。我们前期的研究显示，PCF 能有效清除化学体系产生的氧自由基，抑制紫外线对人皮肤细胞的氧化损伤^[4~7]。为了进一步研究扇贝多肽对 HaCat 细胞的作用，我们以 UVB 辐射损伤的 HaCat 细胞为模型，从 MAPKs 通路和 Caspase-3 的角度探究了 PCF 对 UVB 辐射 HaCat 细胞的保护作用。

1 材料与方法

1.1 细胞株、培养基及其它试剂 人类角质形成细胞株 HaCat 由韩国延世大学丁壁晓博士惠赠。完全培养基由 DMEM (Gibco 公司)、10% 小牛血清 (Gibco 公司)、100U·ml⁻¹ 青霉素、100μg·mL⁻¹ 链霉素组成。流式细胞仪 (美国 B. D 公司) 型号：Sacs-Vantage。PCF，纯度 > 96%，由中国水产科学院黄海水产研究所提供，用无血清的完全培养基配制成 20% 的母液，4℃ 保存备用；Caspase-3 抗体、c-Jun 氨基末端激酶 (JNK)、p38MAPK (p38) 和细胞外信号调节激酶 (ERK) 抗体购于 Cell Signaling Tech.；β 肌动蛋白抗体购于博士德公司。

1.2 实验方法

1.2.1 实验设计与 UVB 氧化损伤 HaCat 细胞病理模型的建立 HaCat 用完全培养基，置于 37℃, 5% CO₂ 的饱和水汽 CO₂ 培养箱培养，待细胞生长至 70%~90% 融合时，用 PBS 洗 2 遍，后进行 UVB 照射，剂量

分别为 5, 10, 15 和 20 mJ/cm²，同时设对照组，确定实验的辐射参数。

将细胞随机分为 6 组：模型组，对照组，PCF 组 5.69, 2.84, 1.42 mmol·L⁻¹ 和 VitC 组 5.69 mmol·L⁻¹，各给药组在加药后培养 2 h，除对照组外，其它各组细胞均经 20 mJ/cm² (经实验确定) UVB 辐射，时间 20 min，在照射前用 PBS 洗 2 遍。辐射后细胞继续培养 18 h (流式检测 Caspase-3 为辐射后 3 h) 进行以下实验。

1.2.2 细胞凋亡的检测 参照文献^[8] 并改良，DNA 的裂解用琼脂糖凝胶电泳分析。细胞制成 5 × 10⁷ 个·L⁻¹ 细胞悬液，接种于 6 孔培养板，每孔加 3 mL 细胞悬液。于培养箱中培养至指数生长期时，随机将细胞分为 6 组，分组同上。经处理后各组 HaCat 细胞悬液 1 mL，收集细胞，PBS 洗 2 次，加入细胞裂解液 (5 mmol·L⁻¹ Tris-HCl (pH 8.0); 20 mmol·L⁻¹ EDTA; ; 0.5% Triton X-100)，50℃ 孵育 1 h，然后加入 RNase A (100 μg·mL⁻¹) 50℃ 孵育 1 h，再加入蛋白酶 K (200 μg·mL⁻¹) 50℃ 孵育 1 h，裂解的上清用苯酚/氯仿/乙醇 (25:24:1, v/v) 抽提。收集沉淀，70% 的冷乙醇漂洗 1 次，沉淀溶于 1× TE 缓冲液 (10 mmol·L⁻¹ Tris-HCl, pH 8.0, 10 mmol·L⁻¹ EDTA)，提取的 DNA 样本加入含溴化乙锭的 1.5% 琼脂糖凝胶，60V 电泳 1 h 后在紫外线灯下观察并照相。

1.2.3 流式细胞仪检测 Caspase-3 的表达

细胞接种于 6 孔培养板，每孔加 3 mL 细胞悬液，于培养箱中培养至指数生长期时，随机将细胞分为 6 组，分组同上。与 PCF 共孵育 2 h 并经 UVB 辐射后孵育 3 h 后收集细胞，PBS 洗 2 次，加入质量浓度为 10 g·L⁻¹ 的多聚甲醛 2.0 mL, 30 min 后，离心去上清，加 Triton x-100 1 mL, 10 min，再加入含有 10 mg·L⁻¹ 抗 Caspase-3 抗体，置冰上孵育 1 h 后洗涤 3 次，上机测定 Caspase-3 含量。

1.2.4 Western blot 检测磷酸化 p38、磷酸化 ERKs、磷酸化 JNKs 按文献^[9] 报道的 Western blot 方法检测蛋白质。细胞无血清培养 24 h 后，直接于裂解缓冲液 (20 mmol·L⁻¹

Tris-HCl(pH 7.7), 250 mmol·L⁻¹ NaCl, 2 mmol·L⁻¹ EGTA, 0.5% NP40, 10% glycerol, 20 mmol·L⁻¹ 3-glycerophosphate, 1 mmol·L⁻¹ Na₃VO₄)裂解 30 min, 12000 g 离心 10 min, 取上清分装。测蛋白浓度(考马斯亮蓝蛋白测定法测定)。取 100 μg 蛋白于 10% SDS 聚丙烯酰胺凝胶电泳后, 转至硝酸纤维素膜。在含 0.1% 的一抗(ERKs, JNKs 和 p38 的单克隆抗体)的封闭液中, 4℃ 摆晃过夜; TBST(1×TBS, 0.1% Tween 20)漂洗 3 次, 每次 5 min; 在含 1:2000 稀释 HRP 标记的第二抗体的封闭液中, 室温摇晃 1 h; TBST 漂洗 3 次, 每次 5 min; DAB 显色。每组实验至少重复 3 次。

1.3 统计学处理 计量资料的数据用 $\bar{x} \pm s$ 表示, 用 SPSS 软件对结果进行单因素方差分析和 *q* 检验。

2 结果

2.1 PCF 对 UVB 辐射 HaCaT 细胞 DNA ladder 的影响

DNA 凝胶电泳显示结果如图 1。在 20 mJ/cm² 的 UVB 照射剂量和照射后培养时间 18 h 的条件下, 呈现特征的阶梯状 DNA 调亡带, 5, 10, 15 mJ/cm² UVB 辐射各组均未见调亡条带, 对照组呈现为单一一条带。表明在 20 mJ/cm² UVB 辐射可诱导 HaCaT 细胞发生凋亡。

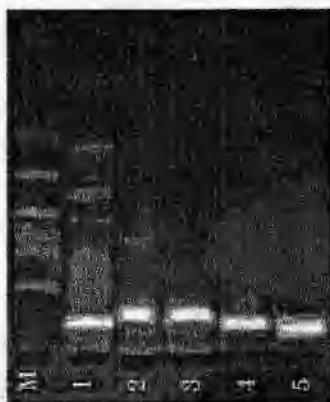


图 1 不同剂量 UVB 辐射 HaCaT 细胞后 DNA 片段形成的影响

M: Marker 1; UVB 20mJ/cm² 2; UVB 15mJ/cm²
3; UVB 10mJ/cm² 4; UVB 5mJ/cm² 5; 对照组

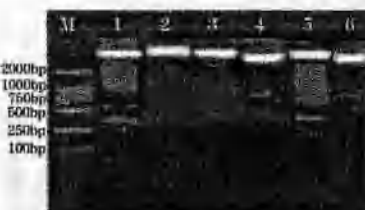


图 2 PCF 对 HaCaT 细胞受 UVB 辐射后 DNA 片段形成的影响

M, Marker 1; 模型组 2; 对照组 3; 5.69 mmol·L⁻¹ PCF 组
4; 2.84 mmol·L⁻¹ PCF 组 5; 1.42 mmol·L⁻¹ PCF 组
6; 5.69 mmol·L⁻¹ VitC 组

图 2 所示, 与对照组比较, UVB 模型组细胞 DNA 断裂明显, 呈现特征的阶梯状 DNA 调亡带, 且梯状带辉度较高; 与 UVB 模型组比较, PCF 各组梯状带不明显, 辉度减弱, 5.69 mmol·L⁻¹ PCF 组图象与对照组接近。鉴于 DNA 梯状带的亮度与发生调亡的细胞数目成正比, 证明 1.42 mmol·L⁻¹ ~ 5.69 mmol·L⁻¹ PCF 可抑制 UVB 辐射诱导的 HaCaT 细胞凋亡, 并有浓度依赖关系。

2.2 PCF 对 UVB 辐射后 HaCaT 细胞 Caspase-3 的影响

HaCaT 细胞在完全培养基中培养至 70%~90% 融合时, 预先给予 PCF, UVB 照射 20 min 后, 继续培养 3 h, 收集细胞, 流式细胞仪分析 HaCaT 细胞中 Caspase-3 的含量(如图 3 所示)。与对照组相比, UVB 模型组 Caspase-3 的含量明显升高; 与 UVB 模型组比较, 1.42 mmol·L⁻¹ PCF 组($P < 0.05$) 和 2.84 mmol·L⁻¹ PCF 组($P < 0.01$) 中 Caspase-3 的含量降低, 并且在 5.69 mmol·L⁻¹ PCF 组和 5.69 mmol·L⁻¹ VitC 组($P < 0.01$) 中, Caspase-3 的含量明显降低。表明 UVB 辐射可以诱导 Caspase-3 激活, 而 PCF 可抑制 UVB 对 Caspase-3 的作用。

表 1 PCF 对 UVB 辐射后 HaCaT 细胞 Caspase-3 平均荧光强度影响($n = 3, \bar{x} \pm s$)

组别	Caspase-3 平均荧光强度
对照组	19.5 ± 2.4
UVB 模型组	38.0 ± 3.5 **
5.69 mmol·L ⁻¹ PCF 组	13.6 ± 0.8 **
2.84 mmol·L ⁻¹ PCF 组	25.5 ± 2.8 **
1.42 mmol·L ⁻¹ PCF 组	28.9 ± 2.1 *
5.69 mmol·L ⁻¹ VitC 组	23.6 ± 1.9 **

注: ** $P < 0.01$ vs 对照组; * $P < 0.05$, ** $P < 0.01$ vs 模型组

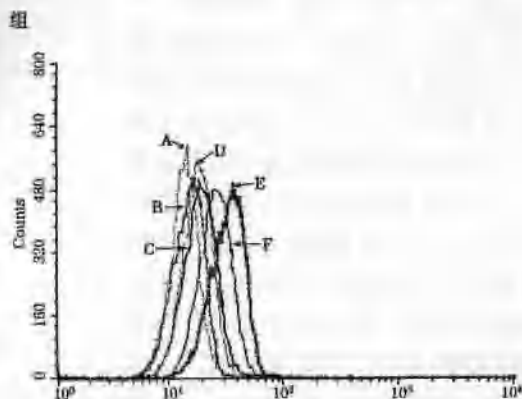


图 3 PCF 对 UVB 辐射后 HaCaT 细胞

Caspase-3 活性的影响

A: 5.69 mmol·L⁻¹PCF 组 B: 对照组C: 5.69 mmol·L⁻¹VitC 组 D: 2.84 mmol·L⁻¹PCF 组E: 模型组 F: 1.42 mmol·L⁻¹PCF

2.3 PCF 对 HaCaT 细胞受 UVB 辐射后 ERKs、JNKs 和 p38 水平的影响

HaCaT 细胞在完全培养基中培养至 70%~90% 融合时, 预先给予 PCF, UVB 照射 20min 后, 继续培养 18h, 收集细胞, Western 印迹观察 ERKs、JNKs 和 p38 的激活情况: 与对照组相比, UVB 模型组 JNKs、p38 水平明显升高, 而 ERKs 水平降低 ($P < 0.01$)。与 UVB 模型组比较, 1.42 mmol·L⁻¹ PCF 组和 2.84 mmol·L⁻¹ PCF 组中 ERKs 增高, 并且在 5.69 mmol·L⁻¹ PCF 组中 ERKs 升高明显, 但是各 PCF 组中 JNKs 和 p38 的水平降低 ($P < 0.05$, $P < 0.01$)。表明 PCF 可明显增强 ERKs 的水平, 同时降低 JNKs 和 p38 的水平。

3 讨论

众多研究表明在一定剂量范围内, UVB 能以剂量依赖的方式引起角质形成细胞发生凋亡, 但是其剂量和时间范围不尽一致。本实验的结果表明: 在 20mJ/cm² 的 UVB 照射剂量和照射后培养时间 18h 的条件下, UVB 能以时间和剂量依赖的方式引起角质形成细胞发生凋亡。细胞发生凋亡时, 基因组 DNA 断裂成寡核小体片段, 在琼脂糖电泳上呈典

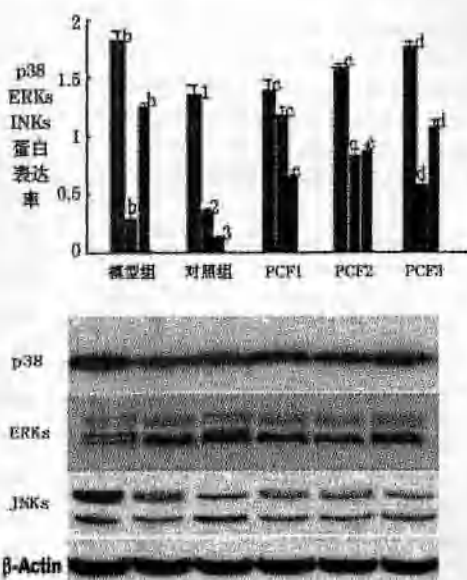


图 4 PCF 对 HaCaT 细胞受 UVB 辐射后 p38, ERKs 和 JNKs 活性的影响

1. p38 蛋白表达率 2. ERKs 蛋白表达率

3. JNKs 蛋白表达率 PCF1 为 5.69 mmol·L⁻¹PCF 组 PCF2 为 2.84 mmol·L⁻¹ PCF 组PCF3 为 1.42 mmol·L⁻¹ PCF 组 bP < 0.01 vs
对照组 cP < 0.01 vs 模型组 dP < 0.05 vs 模型组

型的梯状 (ladder) 条带, 而正常细胞 DNA 呈单一一条带^[10]。本实验研究发现, PCF 具有抗 HaCat 细胞凋亡的作用。UVB 辐射损伤的 HaCat 细胞呈典型的凋亡生化改变, 这种改变在模型组最为明显。用不同浓度的 PCF 预处理细胞可减轻细胞受损, 以 5.69 mmol·L⁻¹ PCF 效果为优 (DNA 表现为单一一条带), 说明 PCF 在实验剂量下能拮抗 UVB 损伤 HaCat 细胞的凋亡。

Shimizu^[11] 等使用 25mJ/cm² UVB 对人 KC 细胞进行辐射所诱导的凋亡过程中, 可出现 Caspase-3 的显著激活; 预先将细胞用抑制剂处理后, UVB 诱导的凋亡数被抑制了 60%, 从而揭示 Caspase-3 在 UVB 诱导 KC 凋亡中的作用。此次研究中, 用流式细胞仪检测活化的 Caspase-3 的含量表明, UVB 辐射能诱导 Caspase-3 的激活, 而 PCF 能剂量依赖的降低 Caspase-3 的活化, 提示 Caspase-3 可能参与了 PCF 对抗 UVB 辐射

诱导的 HaCat 细胞的凋亡效应。

MAPKs 家族包括 ERKs 途径、JNK 通路和 p38 通路。一般而言,ERKs 的激活是细胞增生和存活的信号,该通路的活化具有抗细胞凋亡的作用^[12]。Shyra J^[13]等研究表明,抗氧化剂保护中性粒细胞不产生凋亡,是通过激活 ERKs 途径。本文研究采用 Western blot 检测 ERKs 的水平,结果显示 UVB 辐射显著降低 HaCat 细胞的 ERKs 水平,而 PCF 能剂量依赖性增强 ERKs 的水平。因此,PCF 的抗凋亡作用可能通过其加强 ERKs 激酶的活性而介导的。在 MAPKs 通路中,JNKs 和 p38 是引起细胞凋亡的信号^[14]。紫外线可催化激活 JNKs^[15]、p38^[16],从而导致细胞凋亡。有文献报道,Gadd45 抑制紫外线诱导的造血细胞凋亡是通过抑制 JNKs 和 P38 通路^[17]。本文结果表明,UVB 辐射 HaCat 细胞增强了 JNKs 和 p38 激酶水平。预先给予 PCF 可明显地阻滞 UVB 辐射诱导的 JNKs 和 p38 激酶的水平,随 PCF 的剂量增加,JNKs 和 p38 激酶的水平降低。由此提示 JNKs 激酶和 p38 激酶介导了 UVB 诱导 HaCat 凋亡,PCF 的抗凋亡作用是通过 JNKs 激酶和 p38 激酶通路来实现的。

本文在建立紫外线 UVB(20mJ/cm²)对 HaCat 细胞氧化损伤和凋亡的模型基础上,首次在 MAPKs 信号传导通路和 Caspase-3 级联通路上探讨了扇贝多肽对 UVB 损伤 HaCat 细胞的保护作用机理。PCF 抗 UVB 辐射诱导的 HaCat 细胞的凋亡效应,是通过增强 ERKs,抑制 JNKs 和 P38 激酶的水平,降低 Caspase-3 的活化而实现的。

参考文献:

- Bode AM, Dong Z. Mitogen-activated protein kinase activation in UV-induced signal transduction [J]. *Science's STKE*, 2003(167), 2.
- Verheij M, Bartelink H. Radiation-induced apoptosis [J]. *Cell Tissue Res*, 2000, 31(1):133.
- Dent P, Yacoub A, Fisher PB, et al. MAPK pathways in radiation responses [J]. *Oncogene*, 2003, 22(37), 5885.
- CB Wang, RY Yao, ZT Liu, et al. Protective effect of polypeptide from *Chlamys farreri* on hairless mice damaged by ultraviolet A [J]. *Acta Pharmacol Sin*, 2002, 23(9): 813.
- Yan-Tao Han, Zhi-Wu Han, Guo-Ying, et al. Inhibitory effect of polypeptide from *Chlamys farreri* on ultraviolet A-induced oxidative damage on human skin fibroblasts in vitro [J]. *Pharmacol Res*, 2004, 49: 265.
- 黄绵庆, 阎春玲, 奚梅, 等. 扇贝多肽对 UVB 损伤 HaCat 细胞的抗氧化作用[J]. 中国海洋药物. 2005;24(3)26.
- CB Wang, BX Ding, SB Guo, et al. Protective effect of polypeptide from *Chlamys farreri* on mitochondria in human dermal fibroblasts irradiated by ultraviolet B [J]. *Acta Pharmacol Sin*, 2003, 24(7): 692.
- Quelle S, Drougard C, Sarasin A, et al. Effects of XPD mutations on ultraviolet-induced apoptosis in relation to skin cancer-proneness in repair-deficient syndromes [J]. *J Invest Dermatol*, 2001, 117(5): 1162.
- Bhling F, Koch G, Wex T, et al. Simultaneous detection and differentiation of anti-Helicobacter pylori antibodies by flow microparticle immunofluorescence assay [J]. *Clin Diagn Lab Immunol*, 2004, 11(1): 131.
- Mitsui H, Takuwa N, Maruyama T, et al. The MEK1-ERK map kinase pathway and the PI 3-Kinase-Akt pathway independently mediate anti-apoptosis signals in HepG2 liver cancer cells [J]. *Int J Cancer*, 2001, 92:55.
- Shimizu H, Banno Y, Sumi N, et al. Activation of p38 mitogen-activated protein kinase and caspases in UVB-induced apoptosis of human keratinocyte HaCaT cells [J]. *J Invest Dermatol*, 1999, 112(5): 769.
- Song-Ja Kim, Jung-Won Ju, Chun-Do Oh, et al. ERK-1/2 and p38 kinase oppositely regulate nitric oxide-induced apoptosis of chondrocytes in association with p53, caspase-3, and differentiation status [J]. *J Biol Chem*, 2002, 277(2): 1332.
- Shyra JG, Ben BW, YQ Xiao, et al. Oxidants inhibit ERK/MAPK and prevent its ability to delay neutrophil apoptosis downstream of mitochondrial changes and at the level of XIAP [J]. *J Biol Chem*, 2004, 279: 44695.
- Fan M, Goodwin ME, Birrer MJ, et al. The c-Jun NH2-terminal protein kinase/AP-1 pathway is required for efficient apoptosis induced by vinblastine [J]. *Cancer Res*, 2001, 61:4450.
- 王春波, 贺孟泉, 秦守哲, 等. 海洋肽的体外抗氧化作用 [J]. 中国海洋药物, 1998, 17(3):15.
- Tatiana E. Regulation of human involucrin promoter activity by a protein kinase C, Ras, MEKK1, MEK3, p38/RK, AP-1 signal transduction pathway [J]. *Biol Chem*, 1998, 273(38): 24387.
- Mamta G, Shiv K, Gupta, et al. Gadd45a and Gadd45b protect hematopoietic cells from ultraviolet radiation induced apoptosis via distinct signalling pathways [J]. *Blood*, 2004, 104(8): 1258.

(收稿日期:2005-07-25)